

1) 抽水试验与参数计算

为测定评价区包气带岩性的垂向渗透系数，并分析其防污性能，结合评价区水文地质特征，确定了 2 处渗水试验点，编号 S1 和 S2。试验采用双环渗水试验，内环直径 0.25m，外环直径 0.5m。渗水试验入渗速率图见图 6.3.3-2 至 6.3.3-3。

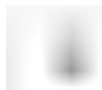
① 渗水实验求参原理

试验采用双环渗水试验，土层中开挖一个圆形 $D=1.2\text{m}$ 深 0.5m 试坑，分别将直径为 0.5m 和 0.25m 的铁圈插入地下土层内，试验时向内、外环同时注入清水，并保持内外环的水位基本一致，都为 0.1m ，由于外环渗透场的约束作用使内环的水只能垂向渗入，因而排除了侧向渗流的误差。当向内环单位时间注入水量稳定时，则根据达西渗透定律计算包气带地层饱和渗透系数 K 。

如图 6.3.3-1 进行试验，根据达西定律：

$$V = KJ = K \frac{h_0 + z}{z}$$

当水柱高度不大时， h_0 可以忽略不计，所以 $V=K$ 。渗水达到稳定时，下渗速度为：



式中： V —下渗速度； Q —内环渗入流量； W —内环面积。

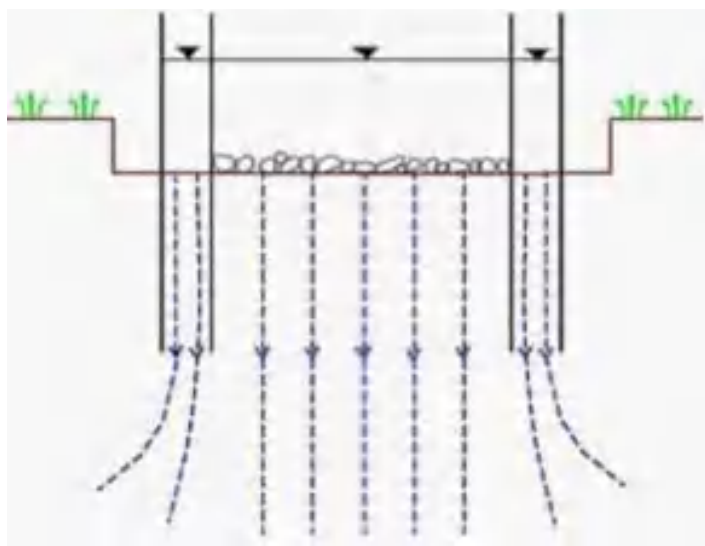


图 6.3.3-1 双环渗水试验原理图

(2) 渗水实验求参结果

双环渗水试验的计算结果参见表 6.3.3-2。

表 6.3.3-2 评价区渗水试验渗透系数结果统计表

实验点编号	位置	水头高度 (cm)	渗透系数 K (cm/s)
S1	项目区西北	10	6.04×10^{-5}
S2	项目区西南	10	9.11×10^{-5}

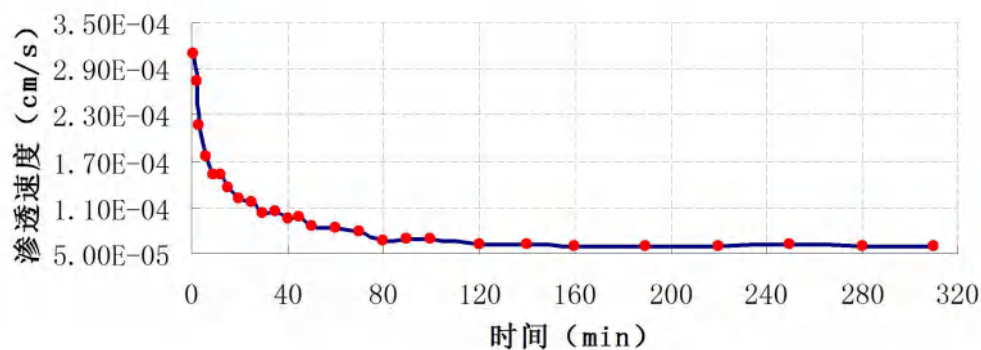


图 6.3.3-2 S1 渗水试验成果图

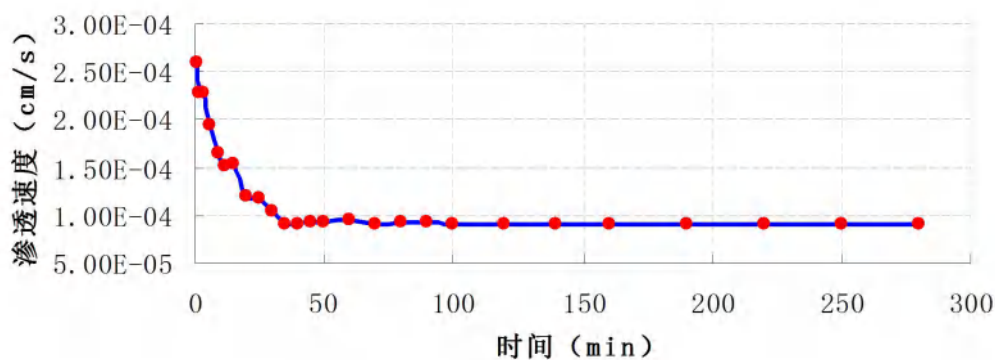


图 6.3.3-3 S2 渗水试验成果图

6.3.4 地下水环境影响评价

根据建设项目自身性质及其对地下水环境影响的特点，为预测和评价项目建设对地下水环境可能造成的影响和危害，并针对这种影响和危害提出防治策略，从而达到预防与控制环境恶化、保护地下水资源的目的。本次工作将采用数值模拟法进行预测与评价。

总体思路是：在对评价区水文地质条件综合分析的基础上确定模拟范围，通过边界条件、地下水流动特征及含水层系统结构的概化，建立评价区的水文地质概念模型，进一步采用有限差分原理进行空间离散、高程插值、非均质分区、边界条件设置等，从而构建评价区地下水渗流数值模型。利用已有的水位观测资料及区域地下水运动规律，完成模型的识别校正。最后按照根据项目的特点，设计了污染泄漏情景，在地下水渗流数值模型的基础上耦合污染物迁移方程，得到地

下水溶质运移模型，利用此模型对污染情景进行预测评价。

(1) 水文地质概念模型

水文地质概念模型是把含水层或含水系统实际的边界性质、内部结构、渗透性能、水力特征和补给排泄等条件进行合理的概化，以便可以进行数学与物理模拟。科学、准确地建立水文地质概念模型是地下水环境影响预测评价的关键。

1) 含水层特征

评价区地处滨海平原，基本由第四系松散岩类孔隙水含水岩组构成，根据第四系沉积物岩性及水文地质特征，将评价区上第四系含水层自上而下划分为四个含水层组，描述如下：

①第 I 含水层组

第 I 含水层组底界埋深约为 40m，含水层岩性主要为细砂、粉砂，单位涌水量 $1\sim 2.5\text{m}^3/\text{h}\cdot\text{m}$ ，径流缓慢，与第 II 含水层组由稳定的粉质粘土相隔，该含水层为浅水含水层，是本次模拟评价的主要含水层组。

②第 II 含水层组

第 II 含水层组底界埋深约为 120m，含水层岩性主要为以薄层细砂、粉砂，含水层厚度一般小于 15 米，补给条件很差，单位出水量约为 $3\text{m}^3/\text{h}\cdot\text{m}$ 。该含水层与第 I 含水层间有稳定的隔水层，该层为浅层承压水。

③第 III 含水层组

第 III 含水层组底界埋深约为 220m，含水层岩性以粉细砂为主，含水层厚度一般 $30\sim 50\text{m}$ 。该含水层为深层承压水。

④第 IV 含水层组

第 IV 含水层组底界埋深在 400m 以上，含水层岩性主要为薄层细砂、粉砂，含水层厚度一般大于 30 米。该含水层为深层高水头承压水。

⑤隔水层

各含水层组中的粉细砂层为其主要含水层。各含水层组间由粘性土和粉土等弱透土层相隔，评价区内分布连续稳定，可分别看做相对独立的隔水层。

2) 地下水补给、径流、排泄条件

评价区浅层地下水补给来源主要为大气降雨补给，其次为周围地表水体（养虾池、水塘）入渗补给；浅层地下水在接受补给后，沿 SW—NE 向径流至渤海海域，地下水流向与地形倾斜及区域地下水流向基本一致，水力坡度较小，径流

条件差，径流缓慢近于滞留；区内降水入渗补给量较少，蒸发量大，同时受海潮咸水影响，评价区内浅层地下水的矿化度较高，并无开采利用价值，因此，评价区浅层地下水主要排泄方式为蒸发排泄，其次为径流排泄，排泄至渤海海域。

3) 模拟区边界确定

模拟区没有天然水头边界和隔水边界，从地下水等水位线图来看，东北部和西南部边界平行于地下水等水位线，西北和东南部边界垂直于等水位线，并且从历年地下水流场图上看，等水位线的形状变化不大，因此可将东北部和西南部边界概化为流量边界（边界流量根据断面法分段进行计算），西北和东南部边界可概化为零流量边界。鉴于本次地下水数值模拟目的是在地下水识别模型的基础上预测厂区在事故条件下地下水污染的时空分布特征，因此，此次只建立评价区域的第 I 含水层组的数值模型，将第 I 含水层组和第 II 含水层组之间的粉质粘土层当做此次模型的底板。

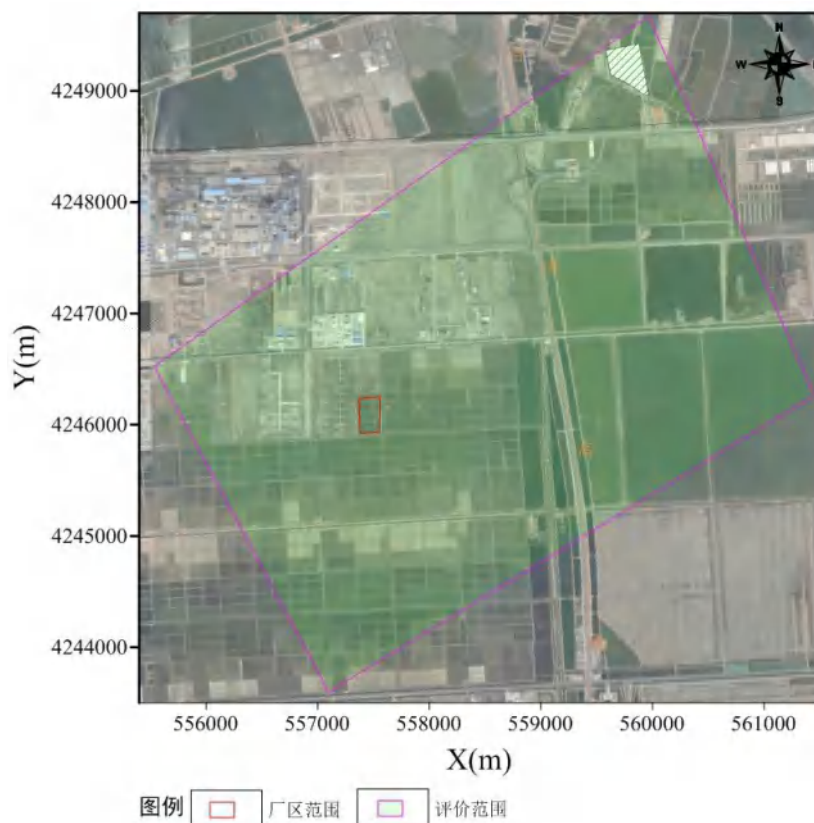


图 6.3.4-1 评价区范围示意图

(2) 地下水流数学模型

根据模拟区内的含水介质特征、地下水补给、径流、排泄条件等，模拟区内地下水运动呈现出二维运动特征，且符合达西定律。模拟区内地下水二维非稳定

流运动可采用下列数学模型进行描述：

$$\begin{cases} \frac{\partial}{\partial x} \left\{ K[H-Z(x,y)] \frac{\partial H}{\partial x} \right\} + \frac{\partial}{\partial y} \left\{ K[H-Z(x,y)] \frac{\partial H}{\partial y} \right\} - \varepsilon = \mu \frac{\partial H}{\partial t} & (x,y) \in \Omega, t > 0, \\ H(x,y,t) \Big|_{t=0} = H_0(x,y) & (x,y) \in \Omega, t = 0, \\ K_n \frac{\partial H}{\partial n} \Big|_{\Gamma_2} = q(x,y) & (x,y) \in \Gamma_2, t > 0 \end{cases}$$

式中：

Ω —渗流区域；

H —地下水水位标高（m）；

K —含水层在水平方向上的渗透系数（m/d）；

ε —含水层的源汇项（m/d）；

H_0 —初始流场（m）；

Γ_2 —渗流区域的两类边界；

n —边界面的法线方向；

$\frac{\partial H}{\partial n}$ — H 沿外法线方向 n 的导数（无量纲）；

q — Γ_2 边界上的单宽流量（m²/d），流入为正，流出为负；

$Z(x,y)$ —含水层底板高程。

（3）地下水流数值模型的建立

1) 模型剖分

模拟区范围地理位置属于高斯投影的第 20 个投影带（6°带），由于以前在区内进行的有关地质及水文地质工作主要是建立在高斯投影坐标的基础上，本次模拟仍选用高斯投影坐标系（6°带）。

本次地下水流数值模拟采用二维规则网格有限差分法进行模拟计算，在平面上，根据本次地下水数值模拟的目的，对整个区域模型采用矩形网格剖分，计算节点位于单元中心。模拟区网格平面剖分见图 6.3.4-2。

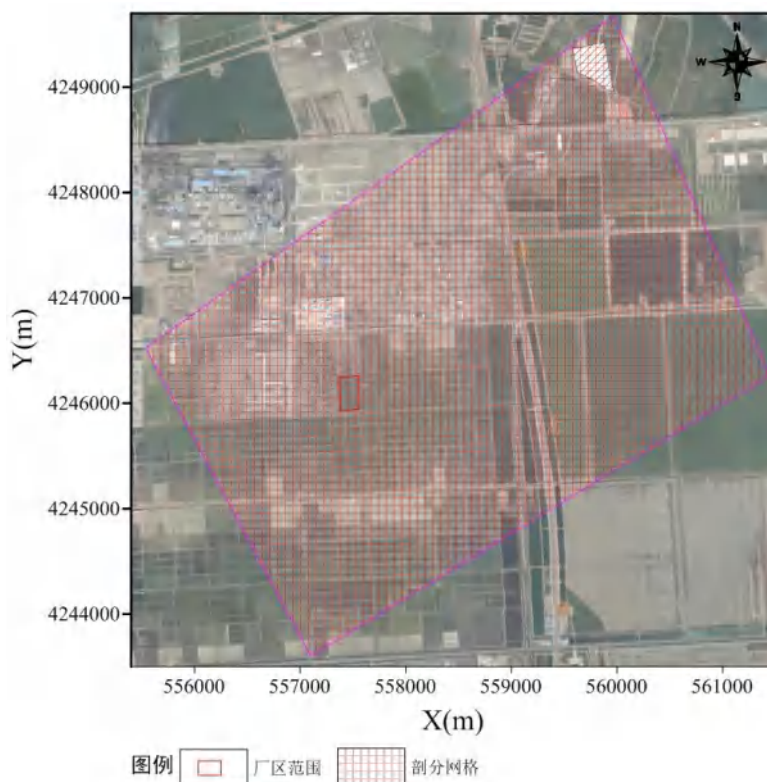


图 6.3.4-2 模拟区网格剖分图

2) 源汇项的处理

①大气降水入渗补给

浅层含水层通过包气带接受大气降水入渗补给，在模型中大气降水入渗补给量的计算公式为：

$$Q_{\text{降}} = \sum_i \alpha_i P_i A_i$$

式中：

$Q_{\text{降}}$	—	大气降水入渗补给量 (m^3/d)；
α_i	—	各计算分区大气降水入渗系数；
P_i	—	各计算分区降水量 (m/d)；
A_i	—	各计算分区面积 (m^2)。

降水入渗补给条件的不均匀性用入渗分区概化处理。依据有关降水入渗资料，并参考包气带岩性、潜水位埋深、地形、植被等因素，绘出全区降水入渗系数分区图，分别给出各区降水入渗系数平均值，加在模型对应的剖分网格单元上。根据各区面积、降水量以及降水入渗系数计算大气降水入渗补给量。本次评价范围较小，根据评价区地下水水位埋深，降水入渗系数统一取值 0.21。

②地下水侧向径流补排量

由于缺少多年的水位监测资料，所以仅计算均衡期内的地下水侧向补给量和

排泄量。计算区地下水侧向补给和排泄量，可分段采用达西定律计算，公式为：

$$Q_{\text{侧向流入}} = \sum_i K_i \cdot I_i \cdot A_i$$

式中：

$Q_{\text{侧向流入}}$	—	地下水侧向径流补给量(m ³ /d)；
K_i	—	第 i 分段含水层渗透系数(m/d)；
I_i	—	第 i 分段断面的法向水力坡度；
A_i	—	第 i 分段含水层断面面积(m ²)

③蒸发

因浅层水蒸发强度随水位埋深的变化而变化，所以计算时将蒸发强度处理为能随水位变化而变化的机制自动变化，其计算公式如下：

$$\begin{cases} Z = Z_0 \left(1 - \frac{S}{S_0}\right) & S < S_0 \\ Z = 0 & S \geq S_0 \end{cases}$$

式中：Z——浅层水蒸发强度（m）；

Z_0 ——水面蒸发强度（m）（即实际水面蒸发强度，为 20cm 蒸发皿测得蒸发强度的 50%）；

S——潜水位埋深（m）；

S_0 ——潜水蒸发极限埋深（m）；（此次计算极限蒸发深度是参考以往沿海地区蒸发量计算所用的蒸发深度 3 米）

（4）模型的识别与检验

模型的识别与验证过程是整个模拟中极为重要的一步工作，通常要在反复修改参数和调整某些源汇项基础上才能达到较为理想的拟合结果。此模型的识别与检验过程采用的方法称为试估—校正法，属于反求参数的间接方法之一。为了确保模型求解的唯一性，在模型调试过程中充分利用各种定解条件，也就是用那些靠得住的实测资料，如边界断面流量等来约束模型对原形的拟合。在模型调试过程中，还充分利用水文地质调查中获得的有关信息及计算者对水文地质条件的认识，来约束模型的调试和识别。

根据所掌握的资料，本次利用 2019 年 12 月流场作为模型识别验证流场，运行计算程序，可得到这种水文地质概念模型在给定水文地质参数和各均衡项条件下的地下水位时空分布，通过拟合同时期的流场，识别水文地质参数、边界值和

其它均衡项，使建立的模型更加符合模拟区的水文地质条件。

模型的识别和验证主要遵循以下原则：①模拟的地下水流场要与实际地下水流场基本一致，即要求地下水模拟等值线与实测地下水位等值线形状相似；②从均衡的角度出发，模拟的地下水均衡变化与实际要基本相符；③识别的水文地质参数要符合实际水文地质条件。根据以上三个原则，对模拟区地下水系统进行了识别和验证。通过反复模拟、识别验证后的水文地质参数较好的刻画了地下水系统的水文地质特征，基本反映了地下水随时间和空间的变化规律，使水位拟合误差较小，达到预期效果。识别验证后的平面流场（图 6-28）和参数分区图见图 6-29，参数值见表 6-9。

通过上述拟合对比，可以说明本次建立的地下水模型基本符合评价区实际水文地质条件，基本反映了地下水系统的流场特征，故利用该模型为基础，对建设区地下水环境影响进行预测评价是合理可信的。

表 6.3.4-1 模型识别与验证后参数取值表

分区号	渗透系数 (m/d)	给水度	备注
1	1.95	0.10	浅层水
2	1.20	0.08	

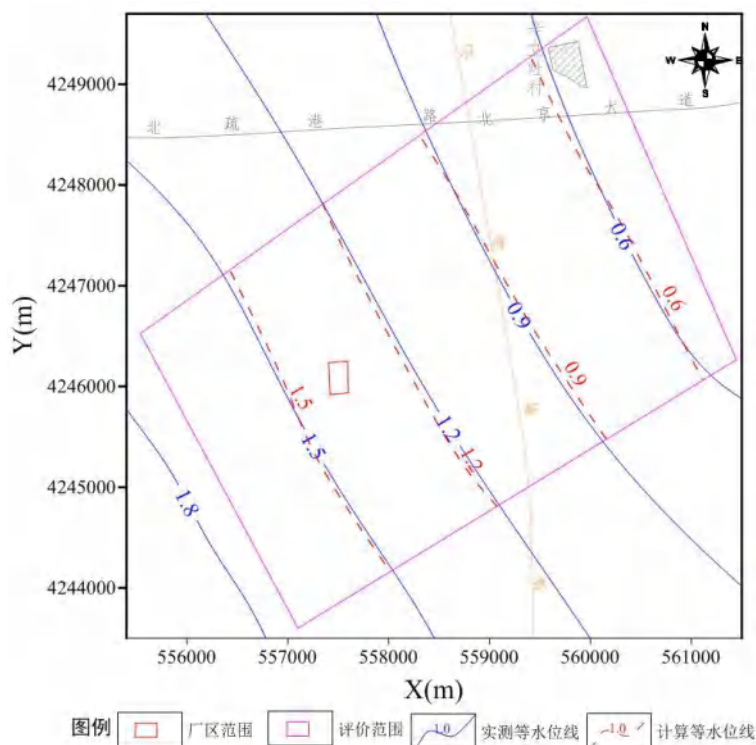


图 6.3.4-3 2019年12月潜水等水位线拟合图

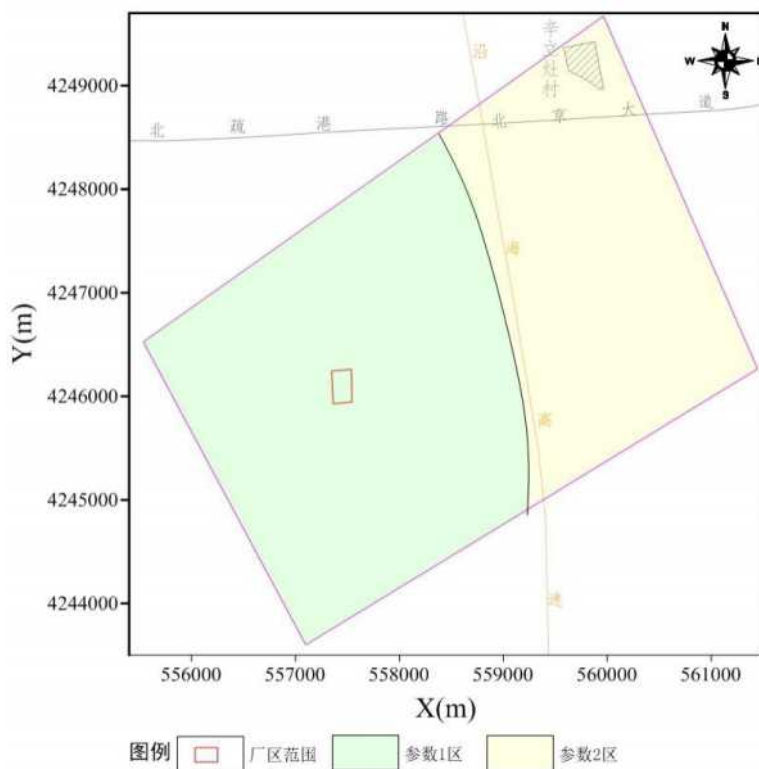


图 6.3.4-4 浅层含水层参数分区图

(5) 地下水污染模拟预测

本次工作已用 Visual Modflow 建立了水流模型，在此基础上，可利用 Visual Modflow 中的 MT3DMS 模块进一步来模拟预测地下水中污染质的运移情况。

本次地下水污染模拟过程未考虑污染物在含水层中的吸附、挥发、生物化学反应，模型中各项参数予以保守性考虑。这样选择的理由是：

①从保守性角度考虑，假设污染质在运移中不与含水层介质发生反应，可以被认为是保守型污染质，只按保守型污染质来计算，即只考虑运移过程中的对流、弥散作用。

②有机污染物在地下水中的运移非常复杂，影响因素除对流、弥散作用以外，还存在物理、化学、微生物等作用，这些作用常常会使污染质浓度衰减。目前国际上对这些作用参数的准确获取还存在着困难。

③在国际上有很多用保守型污染物作为模拟因子的环境质量评价的成功实例，保守型考虑符合工程设计的思想。

(1) 溶质运移数学模型

地下水中溶质运移的数学模型可表示为：

$$\theta \frac{\partial C}{\partial t} = \frac{\partial}{\partial x_j} \left(\theta D_{ij} \frac{\partial C}{\partial x_j} \right) - \frac{\partial}{\partial x_j} (\theta v_j C) - W_j$$

式中： ρ_s —介质密度， $\text{mg}/(\text{dm})^3$ ；

θ —介质孔隙度，无量纲；

C —组分的浓度， mg/L ；

t —时间， d ；

x, y, z —空间位置坐标， m ；

D_{ij} —水动力弥散系数张量， m^2/d ；

V_i —地下水渗流速度张量， m/d ；

W —水流的源和汇， m^3/d ；

C_s —组分的浓度， mg/L ；

(2) 弥散度的确定

地质介质中溶质运移主要受渗透系数在空间上变化的制约，即地质介质的结构影响。这一空间上变化影响到地下水流速，从而影响到溶质的对流与弥散。通常空隙介质中的弥散度随着溶质运移距离的增加而加大，这种现象称之为水动力弥散尺度效应。其具体表现为：野外弥散试验所求出的弥散度远远大于在实验室所测出的值，相差可达 4-5 个数量级；即使是同一含水层，溶质运移距离越大，所计算出的弥散度也越大。越来越多的室内外弥散试验不断地证实了空隙介质中水动力弥散尺度效应的存在。

据 2011 年 10 月 16 日，环保部环境工程评估中心在北京组织召开了《环境影响评价技术导则 地下水环境》(HJ610-2011) 专家研讨会，与会水文地质专家一致认为弥散试验的结果受试验场地的尺度效应影响明显，其结果应用受到很大的局限性。因此，一般不推荐开展弥散试验工作。

许多研究者都曾用类似的图说明水动力弥散的尺度效应。Geihar 等 (1992) 将 59 个不同现场所获得的弥散度按含水层类型、水力学特征、地下水流动状态、观测网类别、示踪剂类型、数据的获取方法、水质模型的尺度等整理后，对弥散度增大的规律进行了讨论。Neuman (1991) 根据前人文献中所记载的 130 余个纵向弥散度进行了线性回归分析，并综合前人发展的准线性扩散理论，对尺度效应进行了解释与讨论。李国敏等 (1995) 综合了前人文献中记录的弥散度数值按

介质类型（孔隙与非孔隙的裂隙等介质）、模型类别（解析模型与数值模型）等分别作出弥散度与基准尺度的双对数分布，并分别给出了不同介质中使用不同模型所求出参数的分维数。如前述分析，由于水动力弥散尺度效应的存在，难以通过野外或室内弥散试验获得真实的弥散度。因此，由于水动力弥散尺度效应的存在，本次工作参考前人的研究成果，和类似溶质运移模拟的经验，从保守角度考虑，取弥散度参数值取 10m。

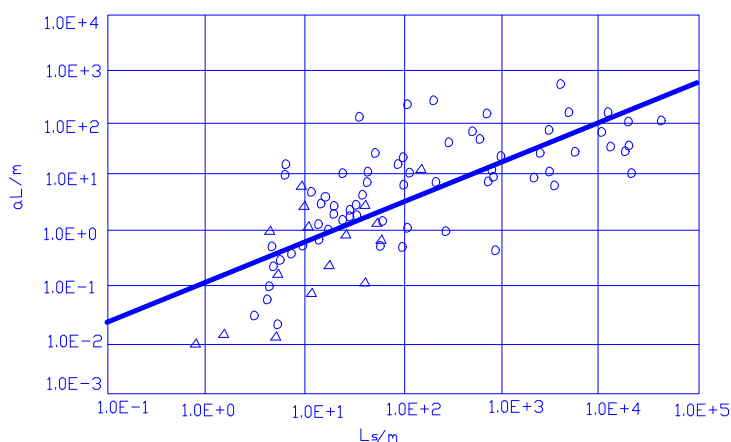


图 6.3.4-5 孔隙介质 2 维数值模型的 $\lg \alpha_L - \lg L_s$ 图

(3) 地下水污染源强

① 正常状况

拟建项目按照《石油化工工程防渗技术规范》（GB/T 50934），对厂区内各地下水重点污染区、一般污染区进行了防渗处理，污染源从源头上可以得到控制；对可能出现渗漏的池体构筑物，以及车间、仓库、罐区等地面进行防渗处理，即使有少量的污染物泄漏，也很难通过防渗层渗入包气带。在正常状况下，拟建项目产生的污染物从源头和末端均得到控制，池体和地面经防渗处理，没有污染地下水的通道，污染物污染地下水的可能性很小。

② 非正常状况

非正常状况是指污水处理构筑物四壁或底部出现破损，以及底部防渗等级不合标准要求，污染物经包气带渗入浅层地下水。

情景设定：

项目调节池发生泄漏（池底面积：20m²）；

源强计算：

设定项目调节池泄漏后，发现及修复事故工况时间为10天；泄漏量为依照《给水排水构筑物工程施工及验收规范》（GB50141-2008）所规定验收标准（1m²池体泄漏2L/d）的10倍计算，即1m²池体泄漏20L/d；调节池中污水的污染物浓度分别为：COD5029mg/L，氨氮7mg/L。则调节池产生泄漏的污水量为：20m²×20L/d×10d=4m³。同时由于评价区范围内浅层地下水埋深不足2m，因此假定泄漏污水全部通过地表进入地下水，则该状况泄漏进入地下水中的污染量为：

$$\text{COD: } 4\text{m}^3 \times 5029\text{mg/L} \times 10^{-3} = 20.116\text{kg};$$

$$\text{氨氮: } 4\text{m}^3 \times 7\text{mg/L} \times 10^{-3} = 0.028\text{kg}$$

本次模拟预测根据污染风险分析的情景设计，在选定优先控制污染物的基础上，分别对地下水污染物在不同时段的运移距离、超标范围和影响范围进行模拟预测，COD和氨氮超标范围参照《地下水质量标准》（GB/T14848-2017）中III类标准，污染物的检出下限值参经常规仪器检测下限。

表 6.3.4-2 评价因子及评价标准一览表

评价因子	耗氧量	氨氮
质量标准（mg/L）	3	0.5
检出限（mg/L）	0.05	0.02

注：由于选取的废水污染因子为耗氧量（COD），但预测对地下水影响的评价因子为高锰酸盐指数，为使污染因子耗氧量（COD）与评价因子高锰酸盐指数在数值关系上对应统一，故在模型计算过程中，本次评价参照国内学者胡大琼（云南省水文水资源局普洱分局）在《高锰酸盐指数与化学需氧量相关关系探讨》一文得出的高锰酸盐指数与化学需氧量线性回归方程 $Y=4.76X+2.61$ （Y为COD，X为高锰酸盐指数）进行换算，得出耗氧量（高锰酸盐指数）的超标范围、影响范围以及影响距离。

4) 地下水污染预测

①耗氧量污染预测

地下水中耗氧量污染物模拟结果如下。

表 6.3.4-3 浅层含水层中耗氧量影响范围表

时间（天）	超标范围（m ² ）	影响范围（m ² ）	最大运移距离（m）
100	344	740	24
1000	510	2530	50
3000	0	4940	75
5000	0	6830	92

从上面预测结果可以看出，耗氧量在运移过程中随着水流的稀释作用，浓度在逐渐地降低；在项目区综合调节池泄漏3000天后，地下水中耗氧量将不再超标，在整个模拟过程耗氧量超标范围始终没有超出厂区界

线；由预测结果可知，由于评价区地下水水力梯度较小，污染物迁移非常慢，泄漏发生5000天后耗氧量污染晕仅运移了92米，影响范围总体较小。

②氨氮污染预测

地下水中氨氮污染物模拟结果如下。

表 6.3.4-4 浅层含水层中氨氮影响范围表

时间（天）	超标范围（m ² ）	影响范围（m ² ）	最大运移距离（m）
100	30	490	16
1000	0	1030	30
3000	0	1480	44
5000	0	1550	55

从上面预测结果可以看出，氨氮在运移过程中随着水流的稀释作用，浓度在逐渐地降低；在项目区综合调节池泄漏1000天后，地下水中氨氮将不再超标，在整个模拟过程氨氮超标范围始终没有超出厂区界线；由预测结果可知，由于评价区地下水水力梯度较小，污染物迁移非常慢，泄漏发生5000天后氨氮污染晕仅运移了55米，影响范围总体较小。

（六）厂区建设对区域地下水影响评价小结

1) 由预测结果可知，污染物在水动力条件作用下主要由西南向东北方向运移。

2) 考虑最不利状况(厂区调节池发生泄漏)，可以看出地下水中耗氧量和氨氮虽有超标现象，但超标范围均较小，未超出厂区范围。

3) 根据评价区的地质及水文地质剖面图资料可知区内深层承压水与浅层潜水水力联系不密切，之间有一层比较稳定的隔水层，岩性以粘土为主。浅深层水之间有粘土层相隔保护，因此在分层止水成井质量完好情况下，上部污染浅层水对深部承压水越流污染的可能性小。

4) 通过预测可知，厂区部分特征污染物的渗漏将会对厂区附近的浅层地下水环境产生一定影响，但对评价区承压水尤其水源井污染可能性较小。

5) 从总的评价结果来看，在有效的防渗措施和完善的监测系统条件下，该项目不会对地下水造成很大影响。发生事故立即启动应急预案，只要处理及时其对地下水的污染可控制在厂区范围之内。生事故立即启动应急预案，只要处理及时其对地下水的污染可控制在厂区范围之内。

6.3.5 地下水环境保护措施与对策

(一) 地面防渗措施

(1) 防渗基础条件

由于评价区包气带防污性能中，因此在制订防渗措施时须从严要求。浅层地下水与深层地下水之间有隔水层，水力联系不密切，污染物很难通过垂向渗透进入深层地下水含水层。

地面防渗措施，即末端控制措施，主要包括厂内污染区地面的防渗措施和泄漏、渗漏污染物收集措施。通过在污染区地面进行防渗处理，防止洒落地面的污染物渗入地下，并把滞留在地面的污染物收集起来，集中送至污水处理站处理。

(2) 地面防渗工程设计原则

①采用国际国内先进的防渗材料、技术和实施手段，确保工程建设对区域内地下水影响较小，地下水现有水体功能不发生明显改变。

②坚持分区管理和控制原则，根据场址所在地的工程地质、水文地质条件和全厂可能发生泄漏的物料性质、排放量，参照相应标准要求有针对性的分区，并分别设计地面防渗层结构。

③坚持“可视化”原则，在满足工程和防渗层结构标准要求的前提下，尽量在地表面实施防渗措施，便于泄漏物质的收集和及时发现破损的防渗层。

④实施防渗的区域均设置检漏装置，其中可能泄漏危险废物的重点污染防治区防渗设置自动检漏装置。

⑤防渗层上渗漏污染物和防渗层内渗漏污染物收集系统与全厂“三废”处理措施统筹考虑，统一处理。

(二) 防渗方案设计参照标准

根据厂区可能泄漏至地面区域污染物的性质和生产单元的构筑方式，将厂区划分为重点污染防治区、一般污染防治区和非污染防治区。

污染区防治防渗方案设计根据不同分区分别参照下列标准和规范：

(1) 对于重点防治污染区，参照《危险废物安全填埋处置工程建设技术要求》（国家环保局 2004.4.30 颁布试行）、《危险废物填埋场污染控制标准》（GB18598-2001）执行地面防渗设计；

(2) 对于一般污染防治区，参照《一般工业固体废物贮存、处置场污染控制标准》（GB18599—2001）II类场进行设计。

(3) 对于基本上不产生污染物的非污染防治区，不采取专门针对地下水污染的防治措施。

(三) 防渗措施

本项目以主动防渗漏措施为主，被动防渗漏措施为辅，人工防渗措施和自然防渗条件保护相结合，防止地下水受到污染。

主要包括基底面的防渗措施和泄漏、渗漏污染物收集措施，即在生产车间基底面进行防渗处理，防止洒落基底面的污染物渗入地下，并把滞留在基底面的污染物收集起来，排入污水排水管道。

对于各类污水构筑物，均采用防渗钢筋混凝土结构，防渗等级不低于 S8，渗透系数不大于 $0.216 \times 10^{-8} \text{cm/s}$ 。池内再涂刷水泥基结晶性防渗涂料，厚度不小于1.0mm，渗透系数不大于 $1.0 \times 10^{-12} \text{cm/s}$ 。池壁厚度按300mm计，对6m水深的构筑物，不作防渗涂层时理论上透过池壁的水量 $0.037 \text{L/m}^2 \cdot \text{d}$ ，涂刷防渗涂料后透过池壁的水量 $0.008 \text{L/m}^2 \cdot \text{d}$ ，可减少80%。

输送污水压力管道采用地上敷设，重力收集管道宜采用埋地敷设，埋地敷设的排水管道在穿越轨道干道时采用套管保护，禁止在重力排水的污水管线上使用倒虹吸管。

所有穿过污水处理构筑物壁的管道预先设置防水套管，防水套管的环缝隙采用不透水的柔性材料填塞。

采取上述防渗措施后，可以有效控制污水的渗漏。

在企业运行期间，为监控生产生活污水对地下水的污染，实施覆盖整个厂区的地下水污染监控系统，包括建立完善的监测制度、配备先进的检测仪器和设备、科学合理设置地下水污染监控井等，及时发现，及时控制。

(四) 地下水环境监测与管理

建立和完善本项目的地下水环境监测制度和环境管理体系，制定完善的监测计划，环境监测工作可委托当地有资质的环境监测机构承担。

(1) 监测井布设

为了掌握本工程周围地下水环境质量状况和地下水体中污染物的动态变化，应对项目所在地周围的地下水水质进行监测，以便及时准确地反馈地下水水质状况，为防止对地下水的污染采取相应的措施提供重要依据。

①监测井数

因为厂区附近相对较易污染的是浅层地下水，因此，此次以浅层地下水为监测对象，根据《地下水环境监测技术规范》HJ/T164-2004的要求，共布设地下水水质监测井3眼，以便随时掌握地下水水质变化趋势。为避免污染物随孔壁渗入地下，建议成井时水泥封孔。

厂区上游布设1眼监测井，用于检测地下水上游背景值，厂区内重点污染风险源下游布设1眼监测井，用于污染扩散监测；地下水主径流方向下游布设1眼监测井，用于检测下游地下水状况。

②监测项目及频率

监测频率：为了及时掌握区内地下水污染情况，厂区内和下游监测点每季度一次，厂区上游监测点每年度一次。

监测项目为：pH、氨氮、耗氧量。

(2) 地下水监测管理

为保证地下水监测有效、有序管理，须制定相关规定、明确职责，采取以下管理措施和技术措施。

①管理措施

a 防止地下水污染管理的职责属于企业内环境保护管理部门的职责之一。建设单位环境保护管理部门指派专人负责防治地下水污染管理工作；

b 建设单位环境保护管理部门应委托具有监测资质的单位负责地下水监测工作，按要求及时分析整理原始资料、监测报告的编写工作；

c 建立地下水监测数据信息管理系统，与企业环境管理系统相联系。

②技术措施

a 按照《地下水环境监测技术规范》（HJ/T164-2004）要求，及时上报监测数据和有关表格；

b 在日常例行监测中，一旦发现地下水水质监测数据异常，应尽快核查数据，确保数据的正确性，并将核查过的监测数据通告公司环保部门，由专人负责对数据进行分析、核实，并密切关注生产设施的运行情况，为防止地下水污染采取措施提供正确的依据。

(五) 应急响应

(1) 应急预案

①在制定全厂环保管理体制的基础上，制订专门的地下水污染事故的应急措施，并应与其它应急预案相协调。

②地下水应急预案应包括以下内容：

a.应急预案的日常协调和指挥机构；

b.相关部门在应急预案中的职责和分工；

c.地下水环境保护目标的确定，采取的紧急处置措施和潜在污染可能性评估；

d.特大事故应急抢险组织状况和人员、装备情况，平常的训练和演习。

(2) 应急处置

一旦发现地下水发生异常情况，必须按照应急预案马上采取紧急措施：

1) 当确定发生地下水异常情况时，按照制订的地下水应急预案，在第一时间尽快上报主管领导，通知当地环保局，密切关注地下水水质变化情况；

2) 组织专业队伍对事故现场进行调查、监测，结合监测结果查找环境事故发生地点、确定影响范围、分析事故原因，尽量将紧急事件局部化，如可能应予以消除，采取有效措施，防止事故的扩散、蔓延及连锁反应，尽量缩小地下水污染事故对人和财产的影响

3) 当通过监测发现对周围地下水造成污染时，根据观测井的反馈信息，控制污染物地下水流场，防止污染物扩散；

4) 对事故后果进行评估，并制定防止类似事件发生的措施。

6.4 地表水环境影响评价

本项目废水主要为生活污水，经化粪池处理后的职工办公生活污水经厂区污水管网排入厂区污水处理站处理后经园区污水管网排入沧州绿源水处理有限公司临港污水处理厂处理，排放满足沧州绿源水处理有限公司临港污水处理厂协商进水水质要求（协议中涉及标准为：《污水综合排放标准》（GB8978-1996）表4中二级标准及《污水排入城镇下水道水质标准》（GB/T31962-2015）表1中C级标准），不会对周围地表水环境产生不利影响。

(1) 地表水影响评价等级划分依据

按照《环境影响评价技术导则地表水环境》（HJ2.3-2018）中地表水环境影响评价级别划分原则，水污染影响型建设项目评价等级判定见下表。

表 6.4-1 水污染影响型建设项目评价等级判定表

评价等级	判定依据	
	排放方式	废水排放量 Q/ (m ³ /d) 水污染物当量数 W/ (无量纲)
一级	直接排放	$Q \geq 20000$ 或 $W \geq 600000$
二级	直接排放	其他
三级 A	直接排放	$Q < 200$ 且 $W < 6000$
三级 B	间接排放	-

(2) 评价等级确定

本企业污水为间接排放，根据上表，本项目地表水环境影响评价工作等级为三级 B。

(3) 地表水环境环境影响评价

①水污染控制和水环境影响减缓措施有效性评价

扩建后项目总排水量为 34231.623m³/a (114.105m³/d)，厂区总排口各污染物排放浓度满足《污水综合排放标准》(GB8978-1996)表 4 中二级标准及沧州绿源水处理有限公司临港污水处理厂进水水质要求，对周围环境影响较小。

②依托污水处理设施的环境可行性评价

沧州绿源水处理有限公司临港污水处理厂：位于石油化工区东北角，主要收集园区内所有生活污水和工业企业排放的生产废水两部分，沧州绿源水处理有限公司临港污水处理厂规划最终规模5万m³/d。

沧州绿源水处理有限公司临港污水处理厂现有处理污水量平均值约为 3×10⁴m³/d，剩余接纳容量约为2×10⁴m³/d。本项目排入沧州绿源水处理有限公司临港污水处理厂总水量67.162m³/d，沧州绿源水处理有限公司临港污水处理厂有足够的容量接纳本项目产生的废水，项目废水排放量仅占沧州绿源水处理有限公司临港污水处理厂剩余处理能力的0.336%。

经处理后，本项目位于沧州绿源水处理有限公司临港污水处理厂收水范围内，各污染物排放浓度满足沧州绿源水处理有限公司临港污水处理厂标准。综上所述，项目排水不会影响沧州绿源水处理有限公司临港污水处理厂正常运行，工程处理后的污水进沧州绿源水处理有限公司临港污水处理厂是可行的，满足依托的可行性要求。

③对周边地表水影响分析

本项目需要外排的废水均集中纳管排放，排入污水处理厂集中处理后经管道排往老黄南排干，最终入海。纯水制备浓排水和蒸汽冷凝水为清下水，初期雨水

经收集处理后排入园区污水处理厂，不进入老黄南排干，对周围地表水环境影响较小。

(4) 污染源排放量核算

表 6.4-2 废水类别、污染物及污染治理设施信息表

序号	废水类别 ^a	污染物种类 ^b	排放去向 ^c	排放规律 ^d	污染治理设施			排放口编号 ^f	排放口设置是否符合要求 ^g	排放口类型
					污染治理设施编号	污染治理设施名称 ^e	污染治理设施工艺			
1	生活废水	COD、BOD ₅ 、氨氮、SS、TN、TP	排至厂区综合污水处理站	间断排放,流量不稳定,有周期性规律	TW001	综合污水处理站	化粪池+“调节+混凝沉淀+UASB+A/O”工艺	DW001	√是 □否	√企业总排 □雨水排放 □清净下水排放 □温排水排放 □车间或车间处理设施排放

a 指生产废水的工艺、工序,或废水类型的名称。

b 指生产的主要污染物类型,以相应排放标准中确定的污染因子为准。

c“包括不外排,排至厂内综合污水处理站;直接进入海域;直接进入江河、湖、库等水环境;进入城市下水道(再入江河、湖、库);进入城市下水道(再入沿海海域);进入城市污水处理厂;直接进入污灌农田;进入地渗或蒸发地;进入其他单位;工业废水集中处理厂;其他(包括回用等);对于工艺、工序产生的废水,“不外排”指全部在工序内部循环使用,“排至厂内综合污水处理站”指工序废水经处理后排至综合处理站。对于综合污水处理站,“不外排指全厂废水经处理后全部回用不排放。

d 包括连续排放,流量稳定,连续排放,流量不稳定,但有周期性规律;连续排放,流量不稳定,但有规律,且不属于周期性规律;连续排放,流量不稳定,属于冲击型排放,连续排放,流量不稳定且无规律,但不属于冲击型排放;间断排放,排放期间流量稳定,间断排放,排放期间流量不稳定,但有周期性规律;间断排放,排放期间流量不稳定,但有规律,且不属于非周期性规律;间断排放,排放期间流量不稳定,属于冲击型排放;间断排放,排放期间流量不稳定且无规律,但不属于冲击型排放。

e 指主要污水处理设施名称,如“综合污水处理站”“生活污水处理系统”等。

f 排放口编号可按地方环境管理部门现有编号进行填写或由企业根据国家相关规范进行编制。

g 指排放口设置是否符合排放口规范化整治技术要求等相关文件的规定。

表 6.4-3 废水间接排放口基本情况表

序号	排放口编号	排放口地理坐标 a		废水排放量/(万 t/a)	排放去向	排放规律	间歇排放时段	受纳污水处理厂信息		
		经度	纬度					名称 b	污染物种类	国家或地方污染物排放标准浓度限值/(mg/L)
1	DW001	38°21'15.12"	117°30'23.62"	0.024	工业废水集中处理厂	间断排放,流量不稳定,且无规律	/	沧州绿源水处理有限公司临	PH	6.5-9
									COD	150
									BOD ₅	30
									氨氮	20

						律		港污水处 理厂	SS	150
									TN	45
									TP	1

a 对于排至厂外公共污水处理系统的排放口,指废水排出厂界处经纬度坐标。

b 厂外城镇或工业污水集中处理设施名称,如×××生活污水处理厂,×××化工园区污水处理厂等

表 6.4-4 废水污染物排放执行标准表

序号	排放口编号	污染物种类	国家或地方污染物排放标准及其他按规定商定的排放协议	
			名称	浓度限值/ (mg/L)
1	DW001	pH、COD、BOD ₅ 氨氮、SS、TN、TP	pH	6.5-9
2			COD	150
3			BOD ₅	30
4			氨氮	20
5			SS	150
7			TN	45
8			TP	1

表 6.4-5 废水污染物排放信息表

序号	排放口编号	污染物种类	排放浓度/ (mg/L)	新增日排放量/ (t/d)	全厂日排放量/ (t/d)	新增年排放量/ (t/a)	全厂年排放量/ (t/a)
1	DW001	pH	6.5-9	--	--	--	--
2		COD	83	0.000120	0.009523	0.036	2.857
3		氨氮	3	0.000005	0.000317	0.001	0.095
4		BOD ₅	14	0.000024	0.001585	0.007	0.475
5		SS	54	0.000064	0.006146	0.019	1.844
6		TP	0.074	0.000000	0.000008	0.000	0.003
7		TN	5	0.000008	0.000528	0.002	0.158
全场排放口统计		PH				6.5-9	6.5-9
		COD				0.036	2.857
		氨氮				0.001	0.095
		BOD ₅				0.007	0.475
		SS				0.019	1.844
		TP				0.000	0.003
		TN				0.002	0.158

6.5 声环境影响评价

6.5.1 项目主要噪声源分析

本项目新增产生噪声的设备主要为反应釜、离心机、干燥机、MVR、燃气炉、真空系统、风机类等。

生产设备的声级值、降噪措施及噪声效果见表 6.5-1。

表 6.5-1 主要噪声源情况一览表

设备名称	总台数 (台/套)	声级 dB (A)	防治措施	降噪效果 dB (A)
反应釜	6	80	加设减振装置、建筑隔声	25
离心机	5	85	加设减振装置、建筑隔声	25
干燥机	3	90	加设减振装置、建筑隔声	25
MVR	1	85	加设减振装置、建筑隔声	25
燃气炉	3	85	加设减振装置、建筑隔声	25
真空系统	1	85	加设减振装置、建筑隔声	25
风机类	4	95	加设减振、消声装置、建筑隔声	35

6.5.2 预测范围、点位与评价因子

(1) 预测范围及点位

- ①噪声预测范围为：厂界外 1m；
- ②厂界噪声点位：在北、东、南、西厂界各设置一个接受点。

(2) 预测因子

厂界噪声预测因子：等效连续 A 声级。

6.5.3 预测范围、点位与评价因子

(1) 预测模式

①室外点声源对厂界噪声预测点贡献值预测模式

$$LA(r)=L_{Aref}(r_0)-(A_{div}+A_{bar}+A_{atm}+A_{exc})$$

式中：LA(r)—距声源 r 米处的 A 声级；

L_{Aref}(r₀)—参考位置 r₀ 米处的 A 声级；

A_{div}—声波几何发散引起的 A 声级衰减量；

A_{bar}—声屏障引起的 A 声级衰减量；

A_{atm}—空气吸收引起的 A 声级衰减量；

A_{exc}—附加衰减量。

A、几何发散

对于室外点声源，不考虑其指向性，几何发散衰减计算公式为：

$$LA(r)=LA(r_0)-20Lg(r/r_0)$$

B、遮挡物引起的衰减

遮挡物引起的衰减，只考虑各声源所在厂房围护结构的屏蔽效应。

C、空气吸收引起的衰减

空气吸收引起的衰减按下式计算：

$$A_{atm} = \frac{\alpha(r-r_0)}{1000}$$

式中：

r—预测点距声源的距离，m；

r₀—参考点距声源的距离，m；

α—每1000m空气吸收系数。

D、附加衰减

附加衰减包括声波传播过程中由于云、雾、温度梯度、风及地面效应引起的声能量衰减，本次评价中忽略不计。

②室内点声源对厂界噪声预测点贡献值预测模式

室内声源首先换算为等效室外声源，再按各类声源模式计算。

A、首先计算出某个室内声源靠近围护结构处的倍频带声压级：

$$L_{oct,1} = L_{w\ oct} + 10lg\left(\frac{Q}{4\pi r_1^2} + \frac{4}{R}\right)$$

式中：L_{oct,1}为某个室内声源在靠近围护结构处产生的倍频带声压级，L_{w oct}为某个声源的倍频带声功率级，r₁为室内某个声源与靠近围护结构处的距离，R为房间常数，Q为方向性因子。

B、计算出所有室内声源的靠近围护结构处产生的总倍频带声压级：

$$L_{oct,1}(T) = 10lg\left[\sum_{i=1}^N 10^{0.1L_{oct,1(i)}}\right]$$

C、计算出室外靠近围护结构处的声压级：

$$L_{oct,2}(T) = L_{oct,1}(T) - (TL_{oct} + 6)$$

式中：TL_{oct}为围护结构倍频带隔声损失，厂房内的噪声与围护结构距离较近，整个厂房实际起着一个大隔声罩的作用。在本次预测中，利用实测结果，确定以25dB(A)作为厂房围护的隔声量。

D、将室外声级 L_{oct,2}(T)和透声面积换算成等效的室外声源，计算出等效声源

第 i 个倍频带的声功率级 $L_{w\ oct}$:

$$L_{w\ oct} = L_{oct,2}(T) + 10 \lg S$$

式中: S 为透声面积, m^2 。

E、等效室外声源的位置为围护结构的位置, 其倍频带声功率级为 $L_{w\ oct}$, 根据厂房结构(门、窗)和预测点的位置关系, 计算预测点处的声级。

假设窗户的宽度为 a , 高度为 b , 窗户个数为 n ; 预测点距墙中心的距离为 r 。预测点的声级按照下述公式进行预测:

$$L_r = L_{\text{室外}} \quad (r \leq a/\pi)$$

$$L_r = L_{\text{室外}} - 10 \lg \frac{\pi r}{a} \quad (b/\pi > r \geq a/\pi)$$

$$L_r = L_{\text{室外}} - 10 \lg \frac{b}{a} - 20 \lg \frac{\pi r}{b} \quad (r \geq b/\pi)$$

(2) 预测步骤

①以本项目厂区中部为坐标原点, 建立一个坐标系, 确定各噪声源及厂界预测点坐标。

②根据已获得的声源参数和声波从声源到预测点的传播条件, 计算出各声源单独作用在预测点时产生的 A 声级 L_i :

③将各声源对某预测点产生的 A 声级按下式叠加, 得到该预测点的声级值 L_1 :

$$L_1 = 10 \lg \left(\sum_{i=1}^k 10^{0.1L_i} \right)$$

④将厂界噪声现状监测值与工程噪声贡献值叠加, 即得噪声预测值。

$$L_{\text{预测}} = 10 \lg \left[10^{0.1L_{eq}(A)} + 10^{0.1L_{eq}(A)_{\text{背}}} \right]$$

6.5.4 预测结果

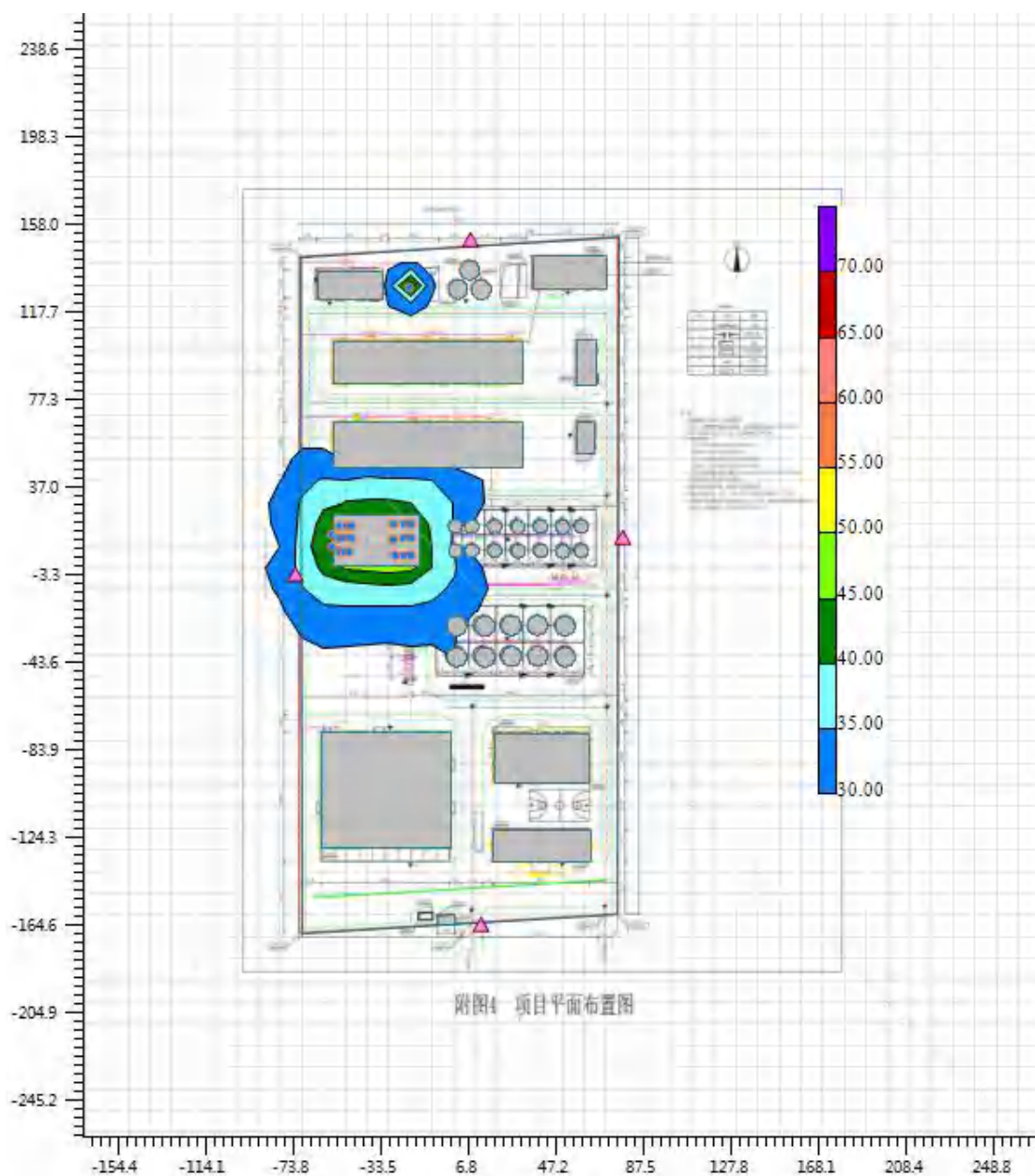


图 6.5-1 噪声贡献值预测结果等值线图

表 6.5-2 厂界噪声预测结果

序号	离散点名称	昼间			夜间		
		贡献值	背景值	预测值	贡献值	背景值	预测值
1	北厂界	9.11	55.50	55.50	9.11	48.40	48.40
2	东厂界	7.86	56.40	56.40	7.86	48.40	48.40
3	南厂界	2.19	55.50	55.50	2.19	47.10	47.10
4	西厂界	29.50	55.60	55.61	29.50	45.50	45.61

由表 6.5-2 可以看出，本项目噪声源对周围声环境影响情况为：厂界噪声贡献值为 9.11~29.5dB(A)，项目东、西、北厂界昼间、夜间噪声贡献值为